

$$n_e n_i / n_a = \left( \sum_i / \sum_a \right) (2\pi m k T / h^2)^{3/2} \exp(-T/kT).$$

Здесь,  $\sum_i$  и  $\sum_a$  — внутр. статистич. суммы иона и атома. Вследствие дальнейшего действия кулоновских сил статистич. сумма усиленного атома есть расходящийся ряд. Например для атома водорода

$$\sum_a = \sum_{k=1}^{\infty} 2k^2 \exp(-\delta_k/kT),$$

где  $\delta_k = Ry/k^2$ ; расходится и второй вириальный коф., т. к. расходятся интегралы  $\int d^3r [1 - \exp(\pm e^2/rkT)]$ , но эти расходимости взаимно сокращаются. Корректный учёт взаимодействия исходных электронов и ионов приводит к перенормировке статистич. суммы

$$\sum_a = \sum_{k=1}^{\infty} 2k^2 [\exp(-\delta_k/kT) - 1 + \delta_k/kT]$$

и к уменьшению энергии ионизации на величину  $\Delta I = e^2/r_B$ , где радиус экранирования

$$r_B = [4\pi e^2 (n_e + n_i)/kT]^{1/2}.$$

Такая плазма представляет собой смесь идеальных газов электронов, атомов и ионов. Поправка к свободной энергии идеальной классич. плазмы обусловлена корреляцией заряж. частиц

$$\Delta F_{\text{corr}} = An_e^{3/2} + Bn_e^2 \ln n_e + Cn_e^2 + \dots$$

Первый член описывает длинноволновые дебаевские корреляции  $\Delta F_B = -T/12\pi r_B^3$ ; его учёт приводит к упрощению состояния в виде *Дальтона закона* (давление идеальных газов равно сумме парциальных давлений) с малой поправкой:  $p = Tn_a + 2Tn_e(1 - e^2/3r_B T)$ . Второй член в плазме с однократной ионизацией исчезает

**Неидеальная классическая плазма.** На рис. 2 изображена расчётная зависимость степени ионизации  $x = n_e/(n_i + n_e)$  водородной плазмы от плотности и температуры [4]. При

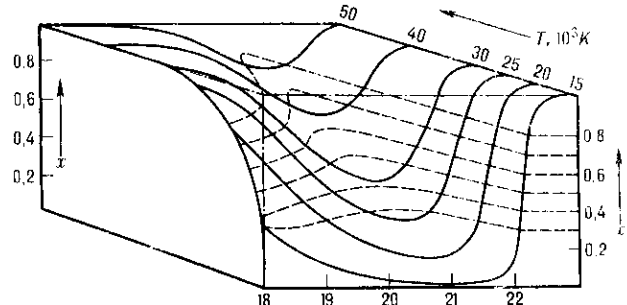


Рис. 2. Зависимость степени ионизации  $x$  водородной плазмы от плотности ( $\sqrt{\lg(n_i + n_e, \text{см}^{-3})}$ ) и температуры (нагревовые кривые).

малых плотностях ионизация является термической;  $x$  уменьшается при сжатии (сплошные кривые слева) и возрастает при нагреве в соответствии с ур-нием Саха. Степень неидеальности характеризуется параметром  $\gamma = e^2/kTr_i$ . Измерения ур-ния состояния позиевых паров, сжатых в подогреваемых ударных трубах, показали, что вплоть до значений  $\gamma$ , близких к единице, термодинамика неидеальной классич. плазмы близка к термодинамике идеальной плазмы.

При высоких плотностях рост степени ионизации вызван сжатием вещества. Это область сильно неидеальной плазмы. Соответствующие ей участки кривых (сплошные в правой части рис. 2) являются ориентировочными. Энергетич. спектр атомов деформируется, поскольку поля ионов экранируются на малых расстояниях. Постепенно радиусом экранирования становится не дебаевский, а среднее межчастичное расстояние  $r_i$ .

По мере дальнейшего сжатия исчезают возбуждённые состояния, соответственно понижается граница контину-

ума. Когда радиус экранирования оказывается близким к размеру атома в основном состоянии  $a_0$ , энергич. поле в спектре закрывается и атомы исчезают. Это условие наз. критерий Мотта для перехода вещества в металлич. состояние (см. *Мотт* — *металл* — *диэлектрик*). Измерения электропроводности, выполненные при изобарич. нагреве жидких металлов в омических печах, показали, что переход из металлич. состояния в пары металлов (переход Мотта) является скачкообразным, а довольно плавным (см. *Переход металла — диэлектрик*).

Эксперименты указывают на высокие значения концентраций заряж. частиц в окрестности критич. точек ряда металлов. Возможно, что за конденсацию вещества в этой области ответственно сильное кулоновское взаимодействие.

**Вырожденная плазма сильно сжатого вещества.** При сильном сжатии электронная компонента вырождается и становится тем более идеальна, чем выше плотность. Все электроны в результате сжатия вещества и смятия электронных оболочек оторваны от ядер и образуют однородный электронный газ. Еслиср. расстояние  $r_{ep}$  между частичками этого газа меньше радиуса оболочки  $r_{ep} < a_0/Z$ , то параметр неидеальности по взаимодействию электронов с ядрами имеет вид:

$$\gamma = Zc^2 n_e^{1/3} / \delta_F < 1,$$

где  $\delta_F$  — энергия Ферми. Система положительно заряженных ядер, ещё очень далёкая от вырождения, сильно неидеальна и образует упорядоченную решётку. Соответственно этому давление даётся выражением

$$p = \frac{1}{5} (3\pi^2)^{2/3} \frac{\hbar^2}{m} n_e^{5/3} = 3Z^{2/3} c^2 n_e^{2/3},$$

где  $Z$  — к.п. постоянная Маделунга, зависящая от конкретной структуры решётки. Так, напр., для вигнеровских ячеек (см. *Вигнеровский кристалл*)  $Z = 0.9(4\pi/3)^{1/3}$ . Плазма сильно сжатого вещества (т.е. при высоких давлениях) может считаться холдиной видуло чрезвычайно высоких темп. (см. рис. 1,2 к ст. *Низкотемпературная плазма*), т.о., при экстремально высоких давлениях свойства вещества универсализируются — ат. номер входит в виде комбинаций  $pZ^{10/3}, n_e Z^{2/3}, TZ^{-4/3}$ . Такие условия реализуются, напр., в недрах звёзд.

С уменьшением плотности возникают новые эффекты. При не очень высоких темп-рах основными из них являются обменные и квантовые, к-рые в случае слабой неоднородности могут поправку к давлению

$$\Delta p = (3\pi^2)^{1/3} (4\pi)^{-1} (1 + 2/9) c^2 n_e^{4/3}.$$

Линиями плотностей, в к-ром выполняются неравенства  $a_0^{-3} \ll n_e \ll Z^2 a_0^{-3}$ , достаточно широк для плазмы гибких элементов ( $Z \gg 1$ ). На своей ниж. границе он соответствует давлению  $p = c^2 a_0^{-4} = 300$  Мбар. Давления, близкие к 100 Мбар, зафиксированы экспериментально за ударными волнами, порождаемыми мощными взрывами. В этих условиях пространственное распределение электронов становится неоднородным, поскольку они притягиваются к ядрам. Существенно, что каждое ядро экранируется своими электронами, и плазма разбивается на совокупность изолированных ячеек.

В таком ячеистом приближении слабонеоднородная плазма описывается *Томаса — Ферми методом*. Ур-ние Томаса — Ферми, решаемое в конечном объёме ячейки ( $4\pi/3$ ), описывает атом в сжатом состоянии. При этом сохраняется автомодельность по  $Z$ . В области низких давлений метод Томаса — Ферми, даже с учётом обменных, квантовых и корреляционных эффектов, даёт только качеств. описание усреднённых характеристик, к-рые измеряются при изоэнтропич. расширении конденсированного вещества, предварительно сжатого и разогретого во фронте ударной волны. На рис. 3 представлена изобара объёма  $V$ , приходящаяся на один атом вещества [5]. Кривая, проведённая по эксперим. точкам, отражает осцилляции, вызванные оболочечными эффектами, обусловленными дискретным